# 2010年冬期石狩湾新港周辺の流動, 濁度特性

Characteristics of flows and turbidity around Ishikari Bay Newport in winter in 2010

北海道大学大学院工学研究院 ○学生員 横山慎(Makoto Yokoyama) (株)日本データサービス 正 員 山内功(Isao Yamauchi) 北海道大学大学院工学研究院 正 員 山下俊彦(Toshihiko Yamashita)

### 1. はじめに

砂浜域に造られた港湾は港内細粒化, 航路埋没といった問題を抱えていることが多い. 石狩湾新港の場合, 東港口付近の航路埋没が問題とされている. その対策を実施するためには, 土砂の堆積機構を明らかにしなければならず, まず, 流動と漂砂の時空間変動特性を把握する必要がある. そこで, 詳細な現地観測を実施し, 流動と漂砂の時空間変動特性を把握し, 平成 15 年の現地観測結果と比較検討した.

### 2. 現地調査

石狩湾新港東港区周辺の、図-1 に示す調査点において、平成22年1月12日から平成22年2月13日までの32日間に、流況観測、濁度観測、砂面変動観測、浮遊砂粒径調査、底質調査、深浅測量を実施した。使用した観測機器は、メモリー式電磁流速計、超音波式ドップラー流速計、メモリー式濁度計、水中設置型粒度・粒度分布測定記録計、スミスマッキンタイヤ型採泥器、コアサンプラー、音響測深器である。調査内容の詳細を表-1に示す。

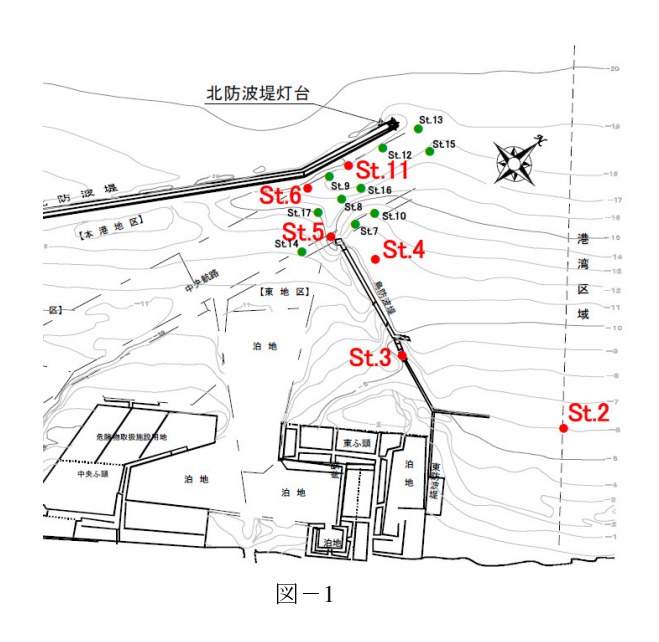
# 3. 暴浪時の流動特性

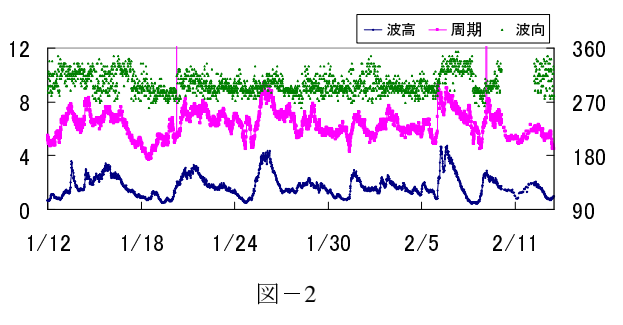
図-2 に調査期間中のナウファス石狩の波浪経時変化を示す. 調査期間中は波高 3m 以上の時化を 2 回, 4m 以上の時化を 2 回観測した. 1月25日から28日の時化では2月6日から9日の時化と同程度の有義波高が観測されているが, 1月25日の時化では波向がWNWからNWであるのに対して,2月6日の時化では波向がNWからNNWとなっていた.このため,2月6日からの時化では前3回の時化とは異なる流動を示し,SS濃度の上昇も見られた.このときの,風,波,各観測点の平均

表-1

			_				
地点	流兄 電磁流速計	ドップラー	濁度	砂面変動	浮遊砂 粒径調査	底質 表層	調査 コア
St.1	FE RANDINGE CO.	〇(5層)	〇(1層:下)		122	200	
St.2	O(1層:下)		〇(1層:下)	0		0	0
St.3	O(1層下)		〇(1層:下)				
St.4		〇(5層)	〇(2層: 1/2 下)	0	0	0	0
St.5	〇(2層 1/2 下)		〇(2層:1/2 下)	0		0	
St.6	〇(2層 1/2 下)		〇(2層:1/2 下)	0		0	
St.7				0		0	0
St.8				0		0	0
St.9				0		0	0
St.10				0		0	
St.11	〇(2層 1/2 下)		〇(2層: 1/2 下)	0		0	
St.12				0			
St.13				0		0	
St.14				0			
St.15						0	
St.16						0	
St.17						0	
地点数	5地点	2地点	7地点	12地点	1地点	13地点	5地点

St.1





流を図-3の(a)  $\sim$  (i) に示す.

風、波を見ると2月6日の18時~8日の0時にかけて強い北西の季節風が吹き、最大で有義波高4.7mの波が発生している。波向はNW~NNWで、東港区では港に対して垂直からやや港右側からとなっている。沖合いのSt1では上層から中層にかけて南西向きの強い流れが生じており、その補償流が下層では北東向きに流れている。St2では港口に向かう強い沿岸流が発生している。St3は東防波堤と島防波堤の間の切通し部であり、港内へ流入する流れが卓越している。St4では波高のピーク時に、港口向きの流れが強く、いったん波高が弱まり、波向がNNWからNWになったときに、港外方向への流れが卓越し、波の発達とともに波向がNNWとなると再び港口向きの流れとなる。St5は島防波堤の先端付近

で、複雑な流れとなっており波向が一定ではないが、港 外向きの流れが多くなっている. 北防波堤付近の航路に 沿った St6 と St11 は良く似た流れで,波向が NW より WNW よりのとき港外方向への流れが発生する.波向が NW より NNW よりのとき、波浪のピークや減衰期は港 内へ流入する流れが強くなっている.

風速

#### 10 ¬[m/s] (a) 10 (b) [m/s] 6 0 6 (c) [cm/s] 40 2/6 18:00 0 40 北防波堤灯台 [cm/s] St2 低層 (d) 40 40 St3 低層 40 0 40 (f) St4 低層 [cm/s] 40 0 2/7 0:00 40 (g) St5 低層 [cm/s] 40 40 [cm/s] (h) St6 低層 40 0 40 [cm/s] (i) St11 低層 40 0 40 (j) St.1 250 2/7 6:00 st1 st2 200 4 st3 150 3 北防波堤灯台 100 2 50 o 2010/2/6 0:00 2010/2/7 0:00 2010/2/8 0:00 2010/2/9 0:00 (k) 250 st4 st5 st6 200 150 3 100 50 2010/2/6 0:00 2010/2/7 0:00 2010/2/8 0:00 2010/2/9 0:00 図-4 図-3

# 4. 暴浪時の濁度特性

2月6日~9日の各観測点の濁度と波高を比較した図 を図-3の(k) にSt1からSt3, (j) にSt4からSt11に ついて示す. 各観測点とも波高と濁度には高い相関が見 られる. 特に、St3、4 では波が発達してきて、港内方 向の流動が強くなったときに、濁度も高くなっている. 港口付近の St5, 6, 11 では波高のピークよりも少し遅 れて濁度のピークが来ている. これは、浅海域で巻き上 がった砂が観測地点まで移動するのに時間がかかること が原因だと考えられる. 流動特性のところでも述べたよ うに,港口付近では、波向がNNWのときに、港口向き の流れが強くなる. 実際に, 2月7日頃, 波向はNNW で, St6, 11 などでは港内方向の流れが強くなっている.

## 5. 流動の時空間変動特性

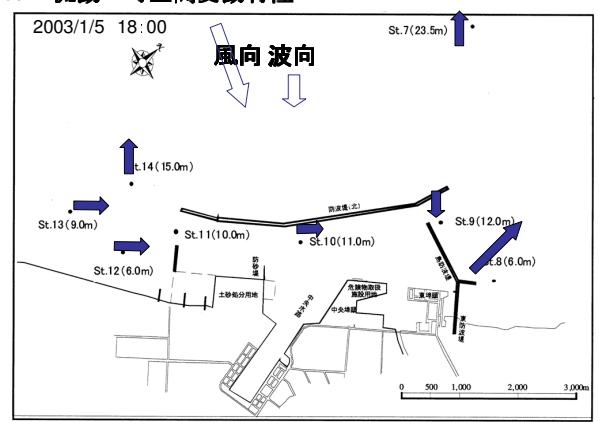




図-5

図-4に一例として2月6日18時,2月7日0時,2月7日6時の底層の平均流の空間分布を示す.2月6日18時は、一つ目の暴浪のピーク時であり、風はNNWで9m/s、波はNWで有義波高4.6mである.砕波帯付近のSt2,3、4では港内方向の流れが卓越しているが、港口付近のSt5,6、11では港外方向の流れが強くなっている.この後、波は減衰しながら波向をNNWに遷移する.そのとき、港口付近、特に北防波堤付近のSt6、11では港内向きの流れに変化する.その後、再び波が発達し始める.それが図の7日0時頃である.平均流の分布は6日18時とほぼ同様である.暴浪がピークを過ぎ、波向がNNWとなると図の7日6時頃のような平均流の分布となり、砕波帯付近だけではなく、港口付近でも港内へ向かう流れが強くなっている.

図-5 に 2003 年の現地調査で得られた、暴浪時の流 動の時空間変動特性を示す. 2003年1月5日~6日にか けて、強い北西の季節風により、最大で有義波高 5.5m の波が発生している. 1月5日18時は、波が発達する 直前で、2010年2月6日18時や7日0時と同じような 状況である. この二つを比べると, 2003 年では WNW,2010 年では NNW と、風向は少し違うが、波向と、 そのときの港の沖の流況は一致している。これらを考慮 すると、暴浪が発達する直前までは波向が WNW から NW で、西港口付近では港内方向の流れが発生し、その とき東港口付近では港外方向への流れが発生していると 考えられる. 2003 年1月6日6時は波高のピークで, 波向 NNW, 風向 NNW であり, 沖の流れ, 砕波帯の流 れも 2010 年の 2 月 7 日 6 時と一致している. よって, ピークから減衰期の波向がNNWのときは、東港口付近 で港内方向への流れが発生し, 西港口付近では港外方向 への流れ、あるいは循環流が発生していると考えられる. 以上のように、石狩湾新港では波向の変化とともに東 港区、西港区ともにの流動分布が大きく変化するので、 漂砂を考えるときにはこのことを十分に考慮しなければ ならない.

### 6. おわりに

本研究で得られた結論を以下にまとめる

- ① 石狩湾新港周辺では、波向きによって港周辺の流動が大きく異なっている。波向きが WNW から NW のとき、西港口から流入し東港口から港外方向の流れがある。波向きが NW~NNW となると逆に東港区から入り、西港区から出るながれとなる
- ② 東港口付近では波向きが NNW のとき港内向きの流動となり濁度も高くなる. 波向きが NW より西よりのとき港外向きの流れとなり濁度もあまり上昇しない.

謝辞:本研究を進めるうえで、2010年の貴重な現地データを国土交通省北海道開発局からご提供いただきました。ここに記し謝意を表します。